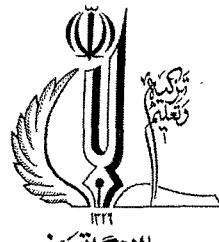


بِسْمِ اللَّهِ الرَّحْمَنِ الرَّحِيمِ

٩٧١١٨



دانشگاه اسلامی شهر

دانشکده فنی مهندسی مکانیک  
گروه مهندسی مکانیک

پایان نامه

برای دریافت درجه کارشناسی ارشد در رشته مهندسی مکانیک - تبدیل انرژی

عنوان

تحلیل انتقال گرمای جابجایی آزاد روی استوانه افقی با روش حجم  
محدود بالا دست بهبود یافته

استاد راهنمای

دکتر سید اسماعیل رضوی

استاد مشاور

دکتر سید محمد سید محمودی

۱۳۸۷ / ۰۱ / ۱

پژوهشگر

وحید فرهنگ مهر

آسفند ماه ۱۳۸۶

۹۷۱۱۰

## تقدیر و تشکر

از راهنمایی‌های استاد ارجمند، جناب آقای دکتر سید اسماعیل رضوی که همواره در طول این پایان‌نامه مرا یاری دادند، کمال تشکر را دارم و زحمات ایشان را ارج می‌نهم.  
از زحمات و راهنمایی‌های بی‌شاییه جناب آقای دکتر سید محمد سید محمودی استاد مشاور این پایان‌نامه کمال امتنان را دارم.  
از زحمات دلسوزانه و بی‌دریغ پدر و مادرم تشکر کرده و این پایان‌نامه را به محضر پدر بزرگوارم که الگوی تلاش و خستگی ناپذیری و مادر فداکارم که الگوی صبر و امید برای من بودند تقدیم می‌کنم.  
و تقدیم به همه کسانی که مرا در رسیدن به این منزل یاری کردند.

نام خانوادگی دانشجو: فرهنگ‌مهر	نام: وحید
عنوان پایان نامه: تحلیل انتقال گرمای جابجایی آزاد روی استوانه افقی با روش حجم محدود بالادست بهبود یافته	
استاد راهنما: دکتر سید اسماعیل رضوی	
استاد مشاور: دکتر سید محمد سید محمودی	
<b>مقطع تحصیلی:</b> کارشناسی ارشد <b>رشته:</b> مکانیک <b>گرایش:</b> تبدیل انرژی <b>دانشگاه:</b> تبریز <b>دانشکده:</b> مهندسی مکانیک <b>تاریخ فارغ التحصیلی:</b> اسفند ماه ۱۳۸۶ <b>تعداد صفحه:</b> ۸۶	
<b>واژه‌های کلیدی:</b> جریان تراکم‌ناپذیر، تراکم‌پذیری مصنوعی، روش حجم محدود بالادست، روش مشخصه‌ها، جابجایی آزاد، استوانه‌دایروی، روش رانگ-کوتا	
<b>چکیده:</b>	
<p>باتکامل تکنیک‌های عددی از نظر سرعت همگرایی و دقت محاسبات، دینامیک سیالات محاسباتی به وفور در طراحی، تحلیل و بهینه‌سازی سیستم‌های مهندسی استفاده می‌شود. از آنجاکه بیشتر روش‌های عددی اولیه در شبیه‌سازی پرسخی پدیده‌های مهم برای جریان‌های تراکم‌پذیر توسعه یافته‌اند، بنابراین کمتر به جریان‌های تراکم‌ناپذیر پرداخته شده است. لذا، شبیه‌سازی عددی صحیح این دسته از جریان‌های جایگاه خاصی در دینامیک سیالات برخوردار است. با توجه به گستردگی، تکامل و کارکردمطلوب تکنیک‌های عددی جریان‌های تراکم‌پذیر، می‌توان با تصحیحاتی از آنها برای جریان‌های تراکم‌ناپذیر نیز بهره‌جست. در واقع معادلات ناویر-استوکس جریان تراکم‌ناپذیر از معادلات ناویر-استوکس جریان تراکم‌پذیر در حالت حدی وقتی عدد ماخ به سمت صفر یا سرعت صوت به سمت بی‌نهایت میل می‌کند، به دست می‌آید. اما کاهش عدد ماخ برای کاهش اثرات تراکم‌پذیری جریان، موجب کاهش کارایی این تکنیک‌ها از نظر همگرایی و دقت و نیز افزایش حساسیت نسبت به شرایط مرزی در مقایسه با جریان‌های تراکم‌پذیر می‌شود و از نظر محاسباتی نیز بهینه‌نمی‌باشد. برای غلبه بر این مشکلات، استفاده از روش‌های بادقت‌بلا، خوش‌رفتار سازه‌های همراه استabدهنده‌های همگرایی توصیه شده است. جریان جابجایی آزاد جریانی کم سرعت می‌باشد، پس ذاتاً تراکم‌ناپذیر بوده و همگرایی کندی دارد. اغلب روش‌های عددی پیشین از تقریب لایه‌مرزی و طرح‌های اختلاف‌مرکزی که در آنها استفاده از اتفاق مصنوعی مخصوصاً در اعداد رایلی بالا جتناب ناپذیر است، بهره‌جسته‌اند. در این پژوهش، مدلی عددی برای انتقال گرمای جابجایی آزاد سیال تراکم‌ناپذیر لزج در جریان دوبعدی و آرام اطراف استوانه‌افقی بلند با دمای سطح یکنواخت و مقطع دایروی ارایه می‌شود. یک روش حجم محدود بالادست توسعه یافته بر اساس روش رو (RoE) همراه با تراکم‌پذیری مصنوعی برای کویل کردن معادلات پیوستگی و ممنته و تبدیل آهایه سیستم هذلولوی در یک شبکه جبری فشرده‌سازی شده پرداخته می‌شود. مزیت کار عددی حاضر این است که میدان‌های فشار، سرعت و دمابه صورت کاملاً یک‌دست با یک طرح عددی و بدون اتفاق مصنوعی در محدوده وسیع اعداد رایلی تعیین می‌شوند. سیال عامل هوابوده و در محاسبه شارهای جابجایی از نظریه انتشار امواج صوتی مجازی علاوه بر روش میانگین گیری بهره‌جسته و عبارات لزج-هدایت گرمایی با تکنیک مرتبه دوم گستته سازی می‌شوند. برای گستته سازی زمانی، اسکیم رانگ-کوتای مرتبه پنچ‌بادو مرحله گام زمانی به دلیل محدوده پایداری وسیع و سرعت همگرایی مطلوب به کارفته است. گام زمانی اول از تکنیک گام زمانی محلی به عنوان یک شتاب‌دهنده همگرایی و گام زمانی دوم از روی معیار پایداری تعیین می‌شوند. نتایج حاصل شامل مشخصه‌های هیدرودینامیکی و گرمایی جریان ماتنده خطوط جریان، خطوط دمای ثابت، توزیع دما و عدد نوسلت موضعی و متوسط در محدوده وسیعی از عدد رایلی بین ۱۰۰۰ و ۱۰۰۰۰ پایتیج تجربی و عددی دیگر محققان مقایسه می‌شوند که این مقایسه و سرعت همگرایی قابل ملاحظه می‌باشد. برای اعتباردهی بیشتر به روش توسعه داده شده در کار حاضر، مساله استوانه افقی بلند با مقطع دایروی در جریان صلیبی سیال تراکم‌ناپذیر لزج با انتقال گرمادار رژیم آرام و دوبعدی با سیال عامل هوابه عنوان مطالعه موردي دیگر نیز بررسی شده است.</p>	

## فهرست مطالب

عنوان	صفحه
فهرست علائم	۲
فهرست شکل‌ها و جدول‌ها	۷
فصل اول: مقدمه	
۱-۱ - مقدمه	
۱-۲ - پیشینه پژوهش	

## فصل دوم: معادلات حاکم بر جریان جابجایی آزاد

۱-۲ - مقدمه	۱۲
۲-۲ - معادلات حاکم بر جریان‌های تراکم‌ناپذیر لزج	۱۲
۳-۲ - معادلات حاکم بر انتقال گرمایی جابجایی آزاد سیال تراکم‌ناپذیر لزج	۱۳
۴-۲ - بی‌بعدسازی معادلات حاکم	۱۶
۵-۲ - تراکم‌پذیری مصنوعی	۱۸
۶-۲ - شرط پایداری	۱۹
۱-۳ - فرض بوسینسک	۱۴

## فصل سوم: روش حجم محدود

۱-۳ - مقدمه	۲۲
۲-۳ - تولید شبکه	۲۲
۳-۳ - روش حجم محدود صریح	۲۵
۴-۳ - محاسبه شارهای جابجایی در وجه سلول	۲۶
۵-۳ - شکل انتگرالی معادلات ناویر- استوکس	۲۷
۶-۳ - محاسبه عبارت‌های لزج- هدایت گرمایی	۲۹
۷-۳ - شرایط مرزی دور و جامد	۳۱
۸-۳ - محاسبه عدد نوسلت روی دیواره	۳۴

فصل چهارم: طرح بالادست بهبود یافته برای محاسبه شارهای جابجایی	
۳۶	۱-۴- مقدمه
۳۶	۲-۴- محاسبه شارهای جابجایی با رهیافت دوم
۳۷	۱-۲-۴- مساله مقدار اولیه ریمن
۳۷	۲-۲-۴- روش $Roe$ با دقت مرتبه اول و دوم
۴۶	۳-۴- اعمال روش توسعه یافته به جریان جابجایی آزاد سیال لزج تراکم ناپذیر
۵۲	۴-۴- گسسته سازی صریح زمانی
۵۴	۵-۴- گام زمانی محلی
فصل پنجم: نتایج و بحث	
۵۶	۱-۵- مقدمه
۵۷	۲-۵- نتایج عددی
۶۷	۳-۵- نتیجه گیری کلی
۶۸	۴-۵- پیشنهاد برای کارهای بعدی
۷۰	پیوست: جریان صلیبی روی استوانه

## فهرست علائم

سرعت صوت مجازی	$a$
ماتریس‌های ژاکوبین شار جابجایی	$A, B, A'$
ظرفیت گرمایی ویژه در فشار ثابت ( $J / kgK^\circ$ )	$c_p$
عدد کورانت	$CFL$
ضرایب پسای کلی، فشاری و پوستی در جابجایی اجباری	$C_D, C_{PD}, C_{wD}$
ضریب فشار در جابجایی اجباری	$C_P$
اتلاف عددی مصنوعی و قطر استوانه ( $m$ )	$D$
ماتریس بردارهای ویژه راست	$E$
بردار ویژه راست	$E^{(i)}$
مولفه‌های بردار ویژه راست	$E_j^{(i)}$
بردارهای شار جابجایی	$F, G$
بردار شار جابجایی قائم	$F_N$
شتاب گرانشی ( $m / s^2$ )	$g$
نیروی جسمی به ازای واحد جرم سیال در امتدادهای مختصات فیزیکی	$g_x, g_y$
عدد گرافش	$Gr$
انتالپی ( $J / kg$ ) و ضریب جابجایی گرمایی ( $W / m^2 K$ )	$h$
تعداد فاصله‌ها در امتدادهای شعاعی و محیطی	$IM, JM$
ضریب رسانش گرمایی ( $W / mK^\circ$ )	$k$
امتداد قائم بی‌بعد	$l_n$
تعداد گره‌های شبکه در امتدادهای شعاعی و محیطی	$M, N$
عدد توسلت موضعی	$Nu$
عدد نوسلت متوسط	$\bar{Nu}$
بردار قائم	$\bar{N}$
فشار	$p$
عدد پرانتل	$Pr$
مانده	$Q$
تولید گرمایی داخلی	$q''$
بردارهای شار لزج-هدایت گرمایی	$S, R$
عدد رینولدز	$Re$
عدد رایلی	$Ra$

زمان	$t$
دما( $K^\circ$ )	$T$
بردار مشخصه‌ها	$U$
مولقه‌های بردار مشخصه‌ها	$u_i$
بردار سرعت	$\vec{V}$
مولقه‌های کارتزین بردار سرعت	$v, u$
مولقه‌های بردار حالت	$w_i$
بردار حالت	$W$
مختصات فیزیکی	$y, x$
عبارت چشم	$Z$
ضریب پخشندگی گرمایی ( $m^2 / s$ )	$\alpha'$
مولقه‌های بردار قدرت موج مجازی	$\delta_i, \alpha_i$
بردار قدرت موج مجازی و ضریب تراکم شبکه	$\delta, \alpha$
ضریب تراکم پذیری مصنوعی	$\beta$
ضریب انبساط گرمایی ( $1/K^\circ$ )	$\beta'$
ضریب اتلاف عددی مصنوعی	$\epsilon$
زاویه بین بردار قائم بر شبکه با جهت مثبت محور افقی	$\gamma$
دما بی‌بعد	$\theta$
چگالی ( $kg / m^3$ )	$\rho$
لزجت دینامیکی ( $Pa / s$ ) و سینماتیکی سیال ( $m^2 / s$ )	$\mu, \nu$
مقادیر ویژه	$\lambda$
ماتریس مقادیر ویژه	$\Lambda$
تابع اتلاف لزج	$\Phi$
مساحت و مرز بی‌بعد سلول اولیه	$\partial\Omega, \Omega$
مساحت و مرز بی‌بعد سلول ثانویه	$\partial\Omega', \Omega'$
مساحت و مرز بی‌بعد سلول ثانویه مرزی	$\partial\Omega'', \Omega''$
متغیر میانگین گیری رو (Roe) و ورتیسیته در جابجایی اجباری	$\omega$
زیرنویس‌ها	
قائم	$N$
موازی	$P$

فهرست علائم

مقادیر محیط در جابجایی آزاد و مقادیر جریان آزاد در جابجایی اجباری	$\infty$
دیواره	$W$
راست	$R$
چپ	$L$
بالا نویس‌ها	
مقادیر بی بعد	*
مقدار میانگین	-

### فهرست شکل‌ها و جدول‌ها

شکل ۱-۲- لایه مرزی آرام روی صفحه تخت در جابجایی آزاد

شکل ۱-۳- الف- شبکه جبری فشرده سازی شده  $60 \times 60$

شکل ۳-۱-ب- شبکه جبری فشرده سازی شده  $100 \times 100$

شکل ۳-۲- نمونه شبکه مرکز- سلول

شکل ۳-۳- نمونه شبکه رئوس- سلول

شکل ۴-۳- سلول اولیه برای محاسبه شارهای جابجایی از تکنیک میانگین‌گیری

شکل ۵-۳- سلول‌های اولیه و ثانویه برای محاسبه عبارت‌های لزج- هدایت گرمایی

شکل ۶-۳- سلول ثانویه در مرز جامد

شکل ۷-۳- انواع شرط مرز دور

شکل ۴-۱- مقادیر اولیه برای مساله رین

شکل ۴-۲- طیف امواج در دستگاه هذلولی با  $m$  معادله پایستاری

شکل ۴-۳- انتخاب سلول‌های راست و چپ

شکل ۴-۴- سلول اولیه برای محاسبه شار جابجایی قائم

شکل ۱-۵- بررسی استقلال نتایج از شبکه

شکل ۲-۵- بررسی استقلال نتایج از ضریب تراکم پذیری مصنوعی

شکل ۳-۵- بررسی تاثیر انواع شرایط مرزی دور بر روی نتایج  $CFL=0.5$

شکل ۴-۵- مقایسه نوسلت متوسط برای اعداد رایلی مختلف در کار حاضر و روش میانگین‌گیری شارهای جابجایی و دیگر نتایج تجربی و عددی موجود در ادبیات فن [۲۱ و ۲۵ و ۲۸]

جدول ۱-۵-الف- مقایسه نوسلت متوسط در اعداد رایلی مختلف

جدول ۱-۵-ب- مقایسه نوسلت متوسط در اعداد رایلی مختلف

جدول ۱-۵-ج- مقایسه نوسلت متوسط در اعداد رایلی مختلف

شکل ۵-۵- الف- مقایسه سرعت همگرایی روش توسعه داده شده در کار حاضر و روش میانگین‌گیری شارهای جابجایی  $Ra=200$

شکل ۵-۵- ب - مقایسه سرعت همگرایی روش توسعه داده شده در کار حاضر و روش میانگین‌گیری شارهای جابجایی  $Ra=400$

شکل ۵-۵- ج- مقایسه سرعت همگرایی روش توسعه داده شده در کار حاضر و روش میانگین‌گیری شارهای جابجایی  $Ra=1000$

## فهرست شکل‌ها و جدول‌ها

شکل ۵-۶- مقایسه نوسلت موضعی برای  $Ra=1000$  و  $Ra=10000$  در کار حاضر و دیگر نتایج تجربی و عددی موجود در ادبیات فن [۲۸ و ۲۹]

جدول ۵-۲- مقایسه نوسلت موضعی در  $Ra=1000$  و  $Ra=10000$

شکل ۵-۷-الف- عدد نوسلت موضعی برای روش توسعه‌داده شده دقت مرتبه اول و دوم و روش میانگین‌گیری شارهای جابجایی در ۴۰ و  $Ra=80$

شکل ۵-۷-ب- عدد نوسلت موضعی برای روش توسعه‌داده شده دقت مرتبه اول و دوم و روش میانگین‌گیری شارهای جابجایی در ۲۰۰ و  $Ra=800$

شکل ۵-۷-ج- عدد نوسلت موضعی برای روش توسعه‌داده شده دقت مرتبه اول و دوم در  $Ra=4000$  و  $Ra=8000$

شکل ۵-۸- خطوط جریان و دما ثابت برای (الف)  $Ra=2000$  و (ب)  $Ra=600$  و (ج)  $Ra=20$

جدول پ-۱- مقایسه برای ضریب پسای کلی

جدول پ-۲- مقایسه برای فشار در نقطه سکون جلویی

شکل پ-۱- خطوط جریان برای (الف)  $Re=20$  و (ب)  $Re=4$  و (ج)  $Re=200$

شکل پ-۲- خطوط دما ثابت برای (الف)  $Re=4$  و (ب)  $Re=20$  و (ج)  $Re=200$

شکل پ-۳- کانتورهای دما برای (الف)  $Re=4$  و (ب)  $Re=20$  و (ج)  $Re=200$

شکل پ-۴- کانتورهای ورتیسیتی برای (الف)  $Re=4$  و (ب)  $Re=20$  و (ج)  $Re=200$

شکل پ-۵- خطوط هم‌فشار برای (الف)  $Re=4$  و (ب)  $Re=20$  و (ج)  $Re=200$

شکل پ-۶- کانتورهای فشار برای (الف)  $Re=4$  و (ب)  $Re=20$  و (ج)  $Re=200$

جدول پ-۳- مقایسه برای نوسلت متوسط و بیشینه نوسلت موضعی

## **فصل اول:**

### **مقدمه**

## ۱-۱ مقدمه:

همانگونه که از مشاهدات معمولی وابتدایی خود می‌دانیم، مایعات و گازهای در حال حرکت به شیوه‌ای بسیار متفاوت و اغلب بسیار پیچیده رفتاری کنند. دینامیک سیالات شاخه‌ای از علم مکانیک سیالات است که به مطالعه و بررسی علت و چگونگی این پدیده‌ها می‌پردازد. قوانین فیزیکی حاکم بر رفتار و جریان سیالات همگن در حال حرکت، بدون پخش جرمی، بدون واکنش شیمیایی و با فرض پیوسته بودن سیال، قوانین مشهور و متساوی پایستاری فیزیکی در مکانیک سیالات و انتقال گرما، یعنی قانون پایستاری جرم‌میا معادله پیوستگی، قانون پایستاری اندازه حرکت نیوتون یا قانون توازن نیروها و قوانین ترمودینامیک یا قانون پایستاری انرژی هستند و معادلات مربوط به آنها را هم معادلات ناویر-استوکس (Navier-Stokes Equations) نامیده‌اند [۱]. در اغلب موارد، فرمول بنده این قوانین پایه دینامیک سیالات به صورت معادلات دیفرانسیل پاره‌ای (Partial Differential Equations) مرتبه دوم غیر خطی وابسته در یک قلمرو ناهموار با شرایط اولیه و مرزی مختلف در می‌آید. اساساً، سه رهیافت با شرح مختصراً که در زیرداده می‌شود، برای مطالعه و حل یک مساله مکانیک سیالات و انتقال گرمای وجود دارد که عبارتنداز رهیافت تجربی (Experimental Approach)، رهیافت نظری تحلیلی (Theoretical-Analytical Approach) و رهیافت عددی (Numerical Approach) [۲] هستند. رهیافت تجربی به دلیل معاویت از جمله محدودیت‌های تجهیزاتی در مقیاس‌بندی و اندازه‌گیری و نیز هزینه‌های عملکردی روزافزون و عدم تشابه کامل نمونه با میدان جریان واقعی، توانایی حصول جواب‌های نادرست برای بسیاری از مسائل را دارد و کسب اطلاعات آزمایشگاهی در بیشتر میدان‌های جریان غیرعملی است. به عبارتی دیگر، رهیافت تجربی می‌تواند اطلاعات مورد نیاز یک میدان جریان خاص را فراهم کند. از نتایج تجربی در طراحی، برای اثبات درستی حل معادلات حاکم در کنار نتایج محاسباتی استفاده می‌شود [۲]. در رهیافت نظری تحلیلی، حل تحلیلی معادلات حاکم بسیار محدود است و یک سری فرض‌های ساده کننده و شرایط مرزی برای مهار مساله در نظر گرفته می‌شوند. از جمله معاویت این رهیافت همین فرض‌های محدود کننده و ساده کننده فیزیک و هندسه است [۲].

دینامیک سیالات عددی (Computational Fluid Dynamics, CFD) شاخه نسبتاً جدید مهندسی

mekanik است که در تجزیه و تحلیل و طراحی سیستم‌های مختلف مهندسی مکانیک و دیگر رشته‌های تحولی اساسی ایجاد کرده و در عین حال، باعث پیشرفت چشمگیری در صنعت کامپیوتر شده است. به گونه‌ای که، امروزه شاهد پدیدآمدن ابر کامپیوترها هستیم. پیشرفت‌های به دست آمده در زمینه گسترش تکنیک‌های محاسباتی و ساخت کامپیوترهایی با سرعت، حافظه و کارایی مطلوب‌تر، امکان حل معادلات پیچیده و غیرخطی حاکم بر مکانیک سیالات و انتقال گرمای ادر شرایط گوناگون از روش‌های عددی، فراهم کرده است. برخلاف رهیافت تجربی، شرایط جریان و ابعاد به راحتی تغییر پذیرند تا بتوان اهداف طراحی‌های مختلف را برآورده کرد. جوابی را که از چنین حل عددی حاصل می‌شود، با شرط قرار گیری مساله در گستره فرض‌ها، پس از مقایسه با نتایج تجربی مورد تایید قرار می‌گیرد. با تکامل تکنیک‌های عددی از نظر دقیق و کارایی، صنایع مختلف به وفور از روش‌های CFD در طراحی، تحلیل و بهینه‌سازی استفاده کرده و می‌توان گفت که آگاهی از این شاخه جدید برای کلیه مهندسان و محققان در مهندسی مکانیک و دیگر شاخه‌های مهندسی امری ضروری است [۲].

در CFD برای به دست آوردن یک شبیه‌سازی عددی کار آمد، باید از یک مدل ریاضی صحیح برای کاربردهای مورد نظر (جریان آرام یا آشفته - پایا یا ناپایا - لزج یا غیر لزج - تراکم پذیر یا تراکم ناپذیر - یک، دو یا سه بعدی وغیره)، روش گستته سازی مطلوبی برای تقریب معادلات حاکم در قلمرو مکانی و زمانی با معادلات جبری، شبکه و شرایط مرزی مناسب بهره جست. انتخاب روش گستته سازی به نوع مساله و شرایط اولیه و مرزی بستگی دارد و دقت حل عددی نیز به نحوه گستته سازی معادلات حاکم و شبکه وابسته می‌باشد. یک برنامه کامپیوتری کاربرنامه‌ای است که به کمترین زمان محاسبه و حافظه کامپیوتر نیاز داشته باشد و در عین حال، دقت مطلوبی را در محاسبات فراهم کند. بنابراین، تحقیقات گستردگی و بیوسته‌ای برای ارائه روش‌های جدید، در حال اجراست [۲].

از آنجاکه بیشتر روش‌های عددی اولیه در شبیه‌سازی برخی پدیده‌های مهم برای جریان‌های تراکم پذیر مانند شوک وغیره توسعه یافته‌اند، بنابراین، کمتر به جریان‌های تراکم ناپذیر که اساس بسیاری از جریان‌های مهم موجود در صنعت نظیر جریان در مبادله کن‌های گرمایی، سیستم‌های هیدرولیکی وغیره می‌باشند،

پرداخته شده است. لذا، شبیه سازی عددی صحیح این دسته از جریان ها از جایگاه خاصی در دینامیک سیالات برخوردار بوده و در سال های اخیر توجه زیادی را به خود جلب کرده است.

روش هایی فشار میناوج دارند که ذاتاً برای جریان های تراکم ناپذیر گسترش یافته اند و دارای قدمت بیشتری می باشند. در آنها از معادله پواسون برای حل میدان فشار با فرض یک میدان فشار اولیه و سپس تصحیح آن در صورت لزوم به صورت تکراری تا ارضای معادله پیوستگی استفاده می شود. با وجود تکامل روش های مذکور در موارد متنوع، وابستگی دقیق و کارایی به نحوه حل معادله اولیه فشار، حجم و زمان محاسباتی طولانی معاوی این روش ها است [۳].

با توجه به گستردگی، تکامل و کار کردن مطلوب تکنیک های عددی جریان های تراکم پذیر، می توان از آنها برای جریان های تراکم ناپذیر نیز بهره جست. در واقع معادلات ناویر- استوکس جریان تراکم ناپذیر از معادلات ناویر- استوکس جریان تراکم پذیر در حالت حدی وقتی عدد ماخ به سمت صفر یا سرعت صوت به سمت بی نهایت میل می کند، به دست می آید. اما کاهش عدد ماخ برای کاهش اثرات تراکم پذیری جریان، موجب کاهش کارایی این تکنیک ها از نظر همگرایی و دقیقت [۴] و نیز افزایش حساسیت نسبت به شرایط مرزی در مقایسه با جریان های تراکم پذیر می شود و از نظر محاسباتی نیز بهینه نمی باشد [۵]. برای غلبه بر مشکلات ناشی از بهره گیری تکنیک های جریان های تراکم پذیر با شکل مناسب برای جریان های تراکم ناپذیر و نیز دستیابی به یک حل بهینه، استفاده از روش های با دقیقت بالا (High-Resolution Methods) [۶]، خوش رفتار سازها (Preconditioners) به همراه شتاب دهنده های همگرایی (Convergence Accelerators) [۷] و [۸] توصیه شده است.

معادلات غیر خطی حاکم بر جریان سیالات، معادلات پاره ای مرتبه دوم بود که روش حل و اعمال شرایط اولیه و مرزی به نوع آنها بستگی دارد. معادلات جریان تراکم پذیر با هم کوپل بوده و ماهیت هذلولوی دارند و دارای منحنی های مشخصه حقیقی اند که در امتداد آنها، اغتشاش در یک نقطه با سرعت محدود و در ناحیه محدود منتشر می شود. ناحیه پایین دست آن نقطه که از این اغتشاش متأثر می شود، ناحیه تاثیر و ناحیه بالا دست آن، ناحیه وابستگی نامیده می شوند. قلمرو حل یک ناحیه باز است و برای حل، نیازمند شرایط مرزی اولیه می باشند. روش متداول و توانمند کلاسیک حل معادلات هذلولوی، روش مشخصه ها (Method of Characteristics)

است و دیگر روش‌ها نیز بر اساس آن می‌باشند. این روش در حل جریان ایده‌آل فراصوتی کاملاً شناخته شده است، ولی کاربرد آن در مسائل سه بعدی و با جملات غیر خطی پیچیده است. در حالی که معادلات جریان تراکم‌ناپذیر کوپل نبوده و دارای ماهیت سهمی- بیضوی‌اند. این معادلات یا منحنی مشخصه حقیقی ندارند و اغتشاش در یک نقطه در همه جهات منتشر می‌شود و قلمرو حل یک ناحیه بسته با یک شرط مرزی مشخص بر روی آن می‌باشد و یا فقط یک منحنی مشخصه حقیقی دارند که اغتشاش در یک نقطه در امتداد آن منتشر می‌شود و قلمرو حل یک ناحیه باز با شرایط مرزی واولیه با یک فرآیند حل تکراری می‌باشد. بر روی منحنی‌های مشخصه معادلات دیفرانسیل پاره‌ای به معادلات دیفرانسیل معمولی تبدیل شده و متغیرهای جریان پیوسته‌اند و مشتق‌های مرتبه اول روی منحنی‌های مشخصه نامعین و ناپیوسته می‌باشند و شرایط واولیه نیز باید در امتداد منحنی‌های مشخصه تعریف شوند. از این مطلب در بدست آوردن معادلات منحنی‌های مشخصه در فضای فیزیکی استفاده می‌شود. در معادلات جریان تراکم‌ناپذیر برخلاف معادلات جریان تراکم‌پذیر، جرم مخصوص در سرتاسر قلمرو یکنواخت بوده و دیگر به عنوان مجھول در نظر گرفته نمی‌شود و تنها میدان‌های سرعت، فشار و در صورت لزوم میدان دما مجھول می‌باشند. علاوه بر این، تغییرات برخی دیگر از خواص فیزیکی مانند ضریب لزجت نیز ناچیز است و می‌توان آنها را نیز ثابت فرض کرد. معادلات ممتنم و پیوستگی مجرزا از هم بوده و این مشکل اصلی در حل معادلات جریان تراکم‌ناپذیر است. پس به علت کاهش تعداد مجھولات در داخل قلمرو، ذخیره‌سازی و حافظه کامپیوتر کاهش می‌یابد و به دلیل محدودیت پایداری، گام زمانی کاهش و درنتیجه، زمان محاسبات برای رسیدن به جواب حالت پایا افزایش می‌یابد و باید روش خاصی اختیار کرد که تداخل سرعت و فشار ایجاد کند [۲]. به طور کلی، معادلات حاکم بر جریان تراکم‌ناپذیر چه به صورت بعد داریا بی بعد و چه به صورت پایستای یا غیر پایستایی، بسته به نوع متغیر وابسته، با دونوع فرمول بندی مختلف بر حسب متغیرهای واژیه فشار و سرعت و ممتنم از نظر فشار هیچگونه ارتباطی وجود ندارد، لذا برای برقراری ارتباط از معادله پوآسون برای فشار، فرمول بندی تراکم‌پذیری مصنوعی (Artificial Compressibility Formulation) که اولین بار توسط چورین [۹] برای جریان‌های پایا معرفی شده یا فرمول بندی پنالتی (Penalty Formulation) و یا یک

فرمول بندی بر اساس ترکیبی از آنها (Hybrid Formulation) استفاده می‌شود. در اولی، معادله پواسون برای فشار معمولاً به جای معادله پیوستگی به کار می‌رود. در سه‌تای دیگر، یک مشتق زمانی بر حسب فشار به معادله پیوستگی افزوده می‌شود. افزودن این عبارت موجب کوپلینگ معادلات ناوار-استوکس جریان تراکم ناپذیر و حل با استفاده از طرح‌های گام‌زمانی و فرآیندهای تکرار و نیز تغییر ماهیت معادلات از سهموی-بیضوی به هذلولوی می‌شود. این عبارت در جواب نهایی تاثیر نداشت و بعد از چند تکرار مقدار آن به سمت صفر میل می‌کند [۱۰]. تجربه نشان داده است که فرمول بندی تراکم پذیری مصنوعی دارای کارکرد مطلوبی در جریان‌های تراکم ناپذیر بوده و به همین دلیل برخی از محققان از تراکم پذیری مصنوعی، در روش‌های اختلاف محدود [۱۱]، حجم محدود صریح و ضمنی [۱۲] و نیز طرح‌های بالادست مانند<sup>۱</sup> MUSCL،<sup>۲</sup> TVD و<sup>۳</sup> WENO بهره برده‌اند [۱۰ و ۱۳].

در فرمول بندی دوم که قدیمی تر می‌باشد، معادلات جریان تراکم ناپذیر با روش تابع جریان-ورتیسیتی به عنوان متغیرهای وابسته و نیز روش‌های شبه‌گذرا به دو صورت بیضوی و سهموی مجازات‌بندی شده و به ترتیب حل می‌شوند. به دلیل نبود فشار در آنها، نخست میدان جریان محاسبه می‌شود و سپس با حل یک معادله پواسون، میدان فشار تعیین می‌گردد [۱۴]. تعمیم فرمول بندی مزبور به حالت سه‌بعدی و نیز تعریف شرایط مرزی برخلاف فرمول بندی قبلی با پیچیدگی‌های زیادی همراه است، زیرا تابع جریان فقط برای جریان‌های دو بعدی وجود دارد و شرایط مرزی فیزیکی برای ورتیسیتی موجود نیست. با این وجود، برای حالت سه‌بعدی می‌توان از فرمول بندی‌های دیگری مانند ورتیسیتی-سرعت مشابه ورتیسیتی-تابع جریان با تعریف سه معادله پواسون برای مولفه‌های سرعت یا ورتیسیتی-بردار پتانسیل با جایگزینی تابع جریان با یک بردار پتانسیل سه مولفه‌ای اشاره نمود [۱۰ و ۱۲].

محاسبه کارآمد شارهای جابجایی (Convective Fluxes) در جریان تراکم ناپذیر از معیارهای مهم روش‌های عددی می‌باشد. امروزه، روش‌های حجم محدود جیمسون (Jameson) و رو (Roe) بر اساس تکنیک

<sup>۱</sup>-Monotone Upstream-Centred Scheme for Conservation Laws

<sup>۲</sup>-Total Variation Diminishing

<sup>۳</sup>-Weighted Essentially Nonoscillatory Schemes

میانگین گیری شارهای جابجایی (Flux Averaging) [۱۶] و حل مساله مقدار اولیه ریمن (Reimann) [۱۵] و [۱۰] کاربرد گستردۀ ای در CFD دارند.

## ۲-۱ پیشینه پژوهش:

انتقال گرمای جابجایی آزاد اطراف استوانه افقی بلند با مقطع دایروی به دلیل کاربردهای گستردۀ مهندسی مانند سیستم‌های گرمایشی- سرمایشی، تجهیزات الکترونیکی، مبادله کن‌های گرمایی، رادیاتورها، مولدۀای گرمایی الکترونیکی صفحه‌ای، برج‌های خنک کن، کلکتورهای خورشیدی وغیره، موضوع بسیاری از تحقیقات است و این موضوع قبل از کم‌متغیرهای انتقالی با روش‌های تحلیلی، عددی یا تجربی بررسی شده است، ولی در روش‌های عددی، تعیین مشخصه‌های انتقال گرمای محلی با حل کامل معادلات حرکت و انرژی همراه با دشواری‌های محاسباتی قابل ملاحظه‌ای است. در بسیاری از موارد، نتایج فوق برای تعمیم قبل اعتماد نیست، چون که جریان‌های جابجایی آزاد جریان‌های کم سرعت می‌باشند، پس ذاتاً تراکم‌ناپذیر بوده و همگرایی کندي دارند. این مساله را عملاً در کار با نرم‌افزارهای CFD مانند فلوئنت (FLUENT) نیز می‌توان مشاهده کرد [۱۸]. تقریب‌های لایه‌مرزی متعددی در ادبیات فن برای این مساله وجود دارد. گبهارت و همکاران [۱۹] و جالوریا [۲۰] یک حل عددی بر اساس تقریب لایه‌مرزی در گستره وسیعی از عدد رایلی ( $Ra_D \leq 10^7$ ) برای دمای سطح ثابت و شار گرمایی ثابت سطح ارایه کردند. آنها بیان کردند که در شرایط خاصی این حل ممکن است، ولی در زوایای بزرگتر استوانه حول قسمت فوقانی آن، دو جریان احاطه کننده استوانه از سطح آن جدا شده و سپس به هم چسبیده و یک جریان نوسانی را شکل می‌دهند. تغییر جهت جریان در قسمت فوقانی و تشکیل یک جریان نوسانی بالای استوانه موجب افزایش ضریب انتقال گرمادر مقابل کاهش ضخامت لایه مرزی می‌شود. در این ناحیه، تاثیر احنا نباید نادیده گرفته شود و تقریب لایه مرزی برای بیان درست مکانیزم انتقال گرمای نامناسب می‌شود. احنای لایه مرزی عامل اساسی تعیین کننده انتقال گرمادر اعداد گراش ف کوچک است. مورگان [۲۱] یک سری فرمول به عنوان نتایج مطالعات فراوان تجربی، برای تعیین انتقال گرمادر یک گستره وسیعی از عدد رایلی ( $10^{10} < Ra_D < 10^{-10}$ ) و دمای سطح ثابت ارایه کرد. مالینین [۲۲] همین مساله را در لایه مرزی آرام، عدد گراش ف ( $Gr_D < 10^7$ )، عدد پرانتل ( $Pr >> 1$ ) و

در دمای سطح ثابت و در شار گرمایی ثابت سطح مطالعه کرد. در یک دمای سطح ثابت، برای انتقال گرمای جابجایی آزاد آرام، رابطه بدون بعد عمومی توسط فندو همکاران [۲۳] ارایه گردید. خطای محاسبات آنان بین  $\pm 1.5\%$  بود. با استفاده از تقریب لایه نازک (Thin-Layer Method) برای ( $Ra_D > 10^{-2}$ ) و برای جریان های آرام و آشفته در یک دمای سطح ثابت، ریبی و هلندز [۲۴] فرمول های دیگری را ارایه کردند. کوهن و گلدنشتین [۲۵] با در نظر گرفتن تاثیرات انحنای اختلاف فشار در لایه مرزی، روش عددی لایه هدایت گرمایی (Thermal-Conduction Layer) بر اساس اختلاف محدود را برای حالت دمای سطح ثابت و جریان پایا ( $1 \leq Ra_D \leq 10^4$ ,  $Pr=0.7$ ) به کار بردن و نتایج قابل قبولی به عنوان مبنای (Benchmark Results) به دست آور دند. چرچیل و شتین [۲۶] در رژیم آرام برای ( $1 < Ra_D < 10$ ) فرمولی با خطای ۴.۵٪ ارائه دادند. فرمول مشابه دیگری برای ( $10^{12} \leq Ra_D \leq 10^{-4}$ ) و برای رژیم های آرام و آشفته توسط چرچیل و چو [۲۷] ارایه گردید. نتایج محاسبات عددی بر اساس اختلاف محدود برای عدد نوسلت محلی در دمای سطح ثابت در هوا در گستره ( $2 \times 10^{-3} \leq Ra_D \leq 10^5$ ) توسط سایتو و ساجیکی [۲۸] داده شده است. ونگ و همکاران [۲۹] با تقسیم مرز دور (Far-Field Boundary) به نواحی ورودی، خروجی مساله را حل کردند. ناکای و اکازاکی [۳۰] مقدار میانگین انتقال گرمایی در یک فضای نامحدود و برای مقادیر کوچک عدد گراش در گستره ( $Ra_D Pr \leq 2 \times 10^{-3}$ ) را محاسبه کردند. میسومی و همکاران [۳۱] به صورت تجربی اثر تغییر رژیم جریان از آرام به آشفته در شار گرمایی ثابت سطح را مطالعه نمودند. نتایج تجربی آنها نشان داد که جدایش جریان سه بعدی ابتداء ناحیه دنباله ای استوانه و در  $Ra_D = 3.5 \times 10^9$  رخ می دهد. با افزایش عدد رایلی، نقطه جدایش به سمت بالا دست جریان کشیده شده و گذر از جریان آرام به جریان آشفته باعث افزایش ضرایب انتقال گرمای محلی می شود. اکندا یو و همکاران [۳۲] به صورت تجربی، جابجایی آزاد از یک استوانه ایزو ترم در داخل یک محفظه مستطیلی، برای تعیین موقعیت مناسب از نظر انتقال گرمایی مطالعه کردند. امبروسینی و همکاران [۳۳] با روش تجربی Dynamic Electronic Speckle Pattern Interferometry (D.E.S.P.I.) ناگهان گرم شده در هوا و هرائز و بلدا [۳۴] با روش Holographic Interferometry استوانه های با قطرهای مختلف و طول یکسان و دمای سطح مختلف را بررسی کردند. صادقی پورو و همکاران [۳۵] به جریان جابجایی

آزاد آرام در استوانه ایزو ترم محدود شده با دو دیواره عمودی با روش های تجربی، عددی و تحلیلی در شرایط ارتفاع دیواره ثابت و با فاصله دیواره متغیر برای بررسی تاثیر آن روی انتقال گرما پرداختند و توزیع عدد نوسلت بر حسب نسبت فاصله دو دیواره به قطر استوانه و عدد رایلی را به دست آورد و از روی آن فاصله بهینه دو دیواره از نظر انتقال گرمایی تعیین کردند. هاتا و همکاران [۳۶] به گونه تجربی و عددی بدون کاربرد از تقریب لایه مرزی، جابجایی آزاد سدیم مایع را در شار گرمایی ثابت سطح و دمای سطح ثابت بررسی کردند. سانوو کوری بیا یاشی [۳۷] جریان جابجایی آزاد گذرا در استوانه ناگهان گرم شده را به گونه تجربی مطالعه کردند. اغلب روش های عددی پیشین از تقریب لایه مرزی و طرح های اختلاف مرکزی که در آنها استفاده از اختلاف مصنوعی (Artificial Dissipation) مخصوصاً در اعداد رایلی بالا جتناب ناپذیر است، بهره جسته اند.

در این پایان نامه، مدلی عددی برای انتقال گرمای جابجایی آزاد سیال تراکم ناپذیر لزج در جریان دوبعدی و آرام اطراف استوانه افقی بلند با دمای سطح یکنواخت و مقطع دایروی ارایه می شود. یک روش حجم محدود توسعه یافته جدید مرتبه بالا راساس روش رو (Roe) همراه با تراکم پذیری مصنوعی (برای کوپل کردن معادلات پیوستگی و ممنتوم) و تبدیل آنها به سیستم هذلولوی پرداخته می شود. گفتنی است، در بعضی از کارهای عددی اخیر، معادلات پیوستگی و ممنتوم با یک طرح عددی و معادله انرژی جدا از آنها با طرح عددی دیگری حل شده اند و همواره نیازمند اختلاف مصنوعی بوده اند، ولی مزیت کار عددی حاضر این است که میدان های فشار، سرعت و دما به صورت کاملاً یک دست با یک طرح عددی و بدون اختلاف مصنوعی در محدوده وسیع اعداد رایلی تعیین می شوند.

سیال عامل هوابوده و در محاسبه شارهای جابجایی از نظریه انتشار امواج صوتی مجازی (Viscous-Thermal Virtual Acoustic Wave Propagation) بهره جسته و عبارات لزج- هدایت گرمایی (Conduction Terms) با تکنیک مرتبه دوم گسسته سازی می شوند. برای گسسته سازی زمانی، اسکیم رانگ- کوتای (Runge-Kutta) مرتبه پنچ با دو مرحله گام زمانی (Dual-Time Step) به دلیل محدوده پایداری وسیع تر و سرعت همگرایی مطلوب تر به کار رفته است. گام زمانی اول از تکنیک گام زمانی محلی وسیع (Local Time Stepping) به عنوان یک شتاب دهنده همگرایی و گام زمانی دوم از روی معیار پایداری به کار گرفته می شود. نتایج حاصل از روش تجزیه بردار شار (Flux Splitting) شامل مشخصه های